

ИССЛЕДОВАНИЕ РАСПАДА ^{151}Tb

Investigation of the ^{151}Tb Decay

М. Гонсиор**, И. И. Громова, Г. И. Исхаков, В. В. Кузнецов, М. Я. Кузнецова,
М. Михайлов, А. В. Потемпа**, В. И. Фоминых

Объединенный институт ядерных исследований, Дубна*

(Поступила в редакцию 21 августа 1970)

Исследовались спектры гамма-лучей, гамма-гамма-совпадений, а также спектры конверсионных электронов и e - e -совпадений при распаде ^{151}Tb .

Предлагается схема возбужденных уровней ^{151}Gd , возникающих при распаде ^{151}Tb .

Анализ спектров гамма-гамма-совпадений позволил определить количество позитронов при распаде ^{151}Tb , ведущих к заселению уровня с энергией 839,3 кэв, $(3/2^-)$. Интенсивность позитронов составляет $(0,8 \pm 0,3)\%$ на распад ^{151}Tb .

Определено отношение α/ϵ при распаде ^{151}Tb по накоплению дочерних изотопов ^{147}Eu и ^{151}Gd . Оно равно $(10 \pm 5) \cdot 10^{-5}$.

Определены заселенности уровней ^{151}Gd при распаде ^{151}Tb и рассчитаны соответствующие значения $\lg \tau$.

По отношению κ/β^+ для заселения уровня с энергией 839,3 кэв ($3/2^-$) ^{151}Gd в предположении разрешенного бета-перехода определена граничная энергия позитронов $E_{\text{гр},\beta^+} = (750 \pm 70)$ кэв, и следовательно, разность масс $^{151}\text{Tb} - ^{151}\text{Gd}$ равна (2610 ± 70) кэв.

The decay of ^{151}Tb have been investigated. The spectra of gamma rays, gamma-gamma coincidences, conversion electrons spectra and electron-electron coincidences were measured. The level scheme of ^{151}Gd populated from the decay of ^{151}Tb is proposed.

1. Введение

Излучение ^{151}Tb исследовалось ранее авторами работ [1—11]. Авторы работы [1] идентифицировали гамма-переходы с энергией 108,3; 180,3; 192,2; 252,1 и 287,6 кэв, принадлежащие распаду ^{151}Tb .

* Адрес: Объединенный институт ядерных исследований, Москва, Главпочтamt п/я 79, CCCP.

** Адрес: Instytut Fizyki Jądrowej, Kraków 23, Radzikowskiego 152, Poland.

При исследовании радиоактивных изотопов тербия Антоньева и др. [2] обнаружили ряд линий конверсионных электронов, интенсивность которых спадала с периодом полураспада ~ 18 часов. Они были приписаны известным в то время изотопам ^{151}Tb и ^{154}Tb . Однако, позже после открытия радиоактивного изотопа ^{152}Tb ($T_{1/2} = 17,5$ час) стало ясно, что большинство из наблюдавшихся переходов должны сопровождать распад ^{152}Tb .

Авторы работы [3] при исследовании радиоактивных изотопов тербия с помощью бета-спектрографа типа Даньши и бета-спектрометра с двойной фокусированной пучка электронов и сцинтилляционного спектрометра для изучения гамма-гамма-совпадений предложили вариант схемы распада $^{151}\text{Tb} \rightarrow ^{151}\text{Gd}$. Ими были введены возбужденные состояния ^{151}Gd с энергиями 108,3; 359,6; 395,6 и 575,7 кэВ.

В работе [4] исследовался спектр конверсионных электронов с помощью бета-спектрографа. Авторы этой работы предложили вариант схемы уровней ^{151}Gd с энергиями 108,1; 395,2; 587,3; 839,0 и 906,4 кэВ.

Вильский, Кузнецов и др. [5] исследовали спектр гамма-лучей ^{151}Tb в области энергии до 1000 кэВ с помощью полупроводникового Ge(Li)-детектора, спектры конверсионных электронов и $e-\gamma$ -совпадений с помощью тороидального шестизарного бета-спектрометра и сцинтилляционного спектрометра с кристаллом NaJ(Tl). В их работе использовался моноизотопный препарат ^{151}Tb . В работе [5] более полно развита схема распада $^{151}\text{Tb} \rightarrow ^{151}\text{Gd}$ и обсуждается природа отдельных уровней ^{151}Gd . Наблюден уровень с энергией 1191 кэВ ($3/2^+$) с положительной четностью. Обращалось внимание на большое значение коэффициентов внутренней конверсии для ряда переходов, в частности перехода с энергией 443,8 кэВ. Мультипольность ($E2+E0$) перехода с энергией 443,8 кэВ, разряжающего уровень с энергией 839,3 кэВ ($3/2^-$), и сравнение с характером разрядки подобных уровней в соседнем ядре ^{155}Gd указывали на бета-вибрационную природу уровня с энергией 839,3 кэВ ($3/2^-$). Однако, исследования времени жизни этого уровня в работе [8] дают сравнительно большое время жизни $T_{1/2} = (0,32 \pm 0,05) \cdot 10^{-8}$ сек, что противоречит предположению о бета-вибрационной природе уровня.

Возбужденные состояния ^{151}Gd исследовались Тьемом и Элбеком [12] в реакции $^{152}\text{Gd}(d, t) ^{151}\text{Gd}$, ими наблюдено более двадцати возбужденных уровней ^{151}Gd . Авторами этой работы рассматриваются состояния с энергией 0 кэВ типа $f\ 7/2$, 977 кэВ — $d\ 3/2$ и 1047 кэВ — $s\ 1/2$, об остальных наблюденных возбужденных состояниях, по-видимому, было трудно сделать какие-либо выводы.

В работе [6] при исследовании спектров $e-e$ -совпадений при распаде ^{151}Tb с помощью сдвоенного тороидального бета-спектрометра были получены результаты, подтверждающие введение уровней с энергиями 108,1; 395,2; 575,3; 587,3 и 839,0 кэВ в работах [4, 5].

В настоящей работе продолжено исследование излучения ^{151}Tb . Исследовался спектр гамма-лучей в области энергий до 2000 кэВ с использованием моноизотопного препарата ^{151}Tb с помощью полупроводниковых Ge(Li)-детекторов, исследовались также спектры гамма-гамма-совпадений с помощью двух Ge(Li)-детекторов в связи с вычислительной машиной „Минск-2“ [13] и спектры конверсионных электронов

и e - e -совпадений с помощью сдвоенного безжелезного тороидального бета-спектрометра [14].

Предварительные результаты анализа спектров гамма-гамма- и e - e -совпадений при распаде ^{151}Tb были опубликованы в работах [10, 11].

2. Экспериментальная часть

1. Приготовление источников

Радиоактивные изотопы тербия получались в реакциях расщепления тантала или эрбия протонами с энергией 660 МэВ на синхроциклотроне Лаборатории ядерных проблем ОИЯИ. Мишени тантала (эрбия) облучались на внутреннем пучке протонов синхроциклотрона в течение 15—120 минут. Из облученных мишеней химическим методом [15] выделялся элемент тербий.

При исследовании спектров гамма-излучения ^{151}Tb использовались моноизотопные источники, получаемые с помощью масс-сепаратора [16] Лаборатории ядерных проблем ОИЯИ. Разделение на масс-сепараторе радиоактивных изотопов тербия проводилось через 2,5—3,0 часа после конца облучения мишеней на синхроциклофоне.

Для исследования спектров гамма-гамма-совпадений, а также e - e -совпадений и конверсионных электронов с помощью сдвоенного безжелезного тороидального бета-спектрометра использовались источники тербия, выделенные из мишеней тантала (эрбия), облученных протонами на синхроциклотроне в течение 15—20 минут.

Спектр конверсионных электронов при распаде ^{151}Tb в области энергий выше 1000 кэВ исследовался с помощью бета-спектрометра с двухкратной фокусировкой пучка электронов на угол $\pi/\sqrt{2}$ [17]. В этих измерениях использовался препарат тербия, выделенный из мишеней тантала, облученных протонами на синхроциклотроне в течение двух или более часов.

2. Исследование спектра конверсионных электронов и спектров e - e -совпадений

Спектр конверсионных электронов в области энергий до 1200 кэВ и спектры e - e -совпадений исследовались с помощью сдвоенного безжелезного тороидального бета-спектрометра [14]. Спектр конверсионных электронов измерялся при разрешении бета-спектрометра $R \approx 0,5\%$ и светосиле $T \approx 7\%$. Спектры e - e -совпадений измерялись, в основном, при разрешении $R \approx 1\%$ и светосиле $T = 20\%$ на обеих частях бета-спектрометра; в отдельных случаях измерения спектров совпадений были проведены при разрешении $R \approx 0,5\%$.

Измерения спектров конверсионных электронов и e - e -совпадений осуществлялись автоматически с выводом результатов на многоканальный анализатор NTA-512. Проводились эти измерения в Институте ядерной физики в Кракове и начинались через ~ 20 час после облучения мишеней тантала (или эрбия) на синхроциклотроне в Дубне. Спектр конверсионных электронов с энергией выше 1000 кэВ исследо-

ТАЛИЦА 1

Относительная интенсивность гамма-лучей и конверсионных электронов при распаде ^{151}Tb , КВК и мультипольности переходов в ядре ^{151}Gd

№ №	E_{γ} (кэВ)	I_{γ}	I_{κ}	$I_{\text{полн}}$	$\alpha_{\kappa} \cdot 10^4$	Мультипольность
						1 2 3 4 5 6 7
1	103,8 ^a	572 ± 143	396 ± 79	968	6923 ± 2322	E2
2	108,1	10613 ± 531	11000 ± 1100	27030	10365 ± 1555	E2, M1
3	118,2	< 22,2	1,8 ± 0,4	< 24	> 811	E1
4	140,6 ^a	< 22,2	8,4 ± 1,7	< 30,6	> 3784	E2
5	148,94*}					
6	149,51*}	138 ± 17	149 ± 22	294	10797 ± 2350	M1
7	161,0	258 ± 26	64,4 ± 13,0	337	2496 ± 611	E2
8	180,1	5157 ± 103	1490 ± 75	6920	2890 ± 328	E2 + M1
9	192,0	1956 ± 172	465 ± 46	2488	2377 ± 396	M1 + E2
10	217,0 ^a	116 ± 12	—	—	—	—
11	222,0 ^a	100 ± 20	—	—	—	—
12	235,9 ^a	167	11,7 ± 2,3	178,7	701	E2
13	249,2	—	14,6 ± 3,0	—	—	—
14	251,9	11223 ± 224	1459 ± 73	12888	1300 ± 148	M1
15	255,4 ^a	—	14,4 ± 3,0	—	—	—
16	258,1 ^a	~ 72	14,4 ± 3,0	~ 92	~ 2000	M1
17	263,8 ^a	~ 95	7,9 ± 1,6	~ 104	~ 832	E2
18	267,0 ^a	< 44	0,71	< 45	> 160	E1
19	287,2	11112	1000	12350	900	M1
20	318,7*	172	10 ± 2	186	581	E2 + M1
21	348,0	—	1,3 ± 0,4	—	—	—
22	355,3 ^a	—	0,53 ± 0,16	—	—	—
23	369,0 ^a	—	0,84 ± 0,21	—	—	—
24	375,0 ^a	—	0,49 ± 0,15	—	—	—
25	378,0 ^a	—	10,6 ± 2,1	—	—	—
26	380,0	2031 ± 104	14 ± 0,3	2046	69 ± 13	E1
27	384,0 ^a	618 ± 87	19,4 ± 4,0	640	314 ± 83	E2 + M1
28	395,2	4836 ± 111	164 ± 16	5010	339 ± 49	M1 + E2
29	401,2 ^a	278	2,5	280,5	90	E1
30	407,3 ^a	216	1,3 ± 0,4	217,3	60	E1
31	413,9 ^a	462	—	—	—	—
32	416,1	832 ± 34	33,7 ± 6,7	871	405 ± 92	M1
33	426,3 ^a	1735 ± 87	71,1 ± 10,7	1823	410 ± 77	M1
34	440,2	—	13,6 ± 2,7	—	—	—
35	443,8	3827 ± 191	176 ± 18	4029	460 ± 69	E2 + E0
36	450,7 ^a	~ 111	0,76 ± 0,23	~ 112	~ 68	E1
37	467,2	495 ± 46	10 ± 2	505	202 ± 49	E2
38	479,1	5698 ± 103	121 ± 12	5846	212 ± 30	M1, M1 + E2
39	500,5	278 ± 28	4,4 ± 0,9	283	158 ± 39	E2
40	507,8 ^a	< 111	0,51 ± 0,15	< 111,5	> 46	E1
41	512,0	1316 ± 46	9,1 ± 1,8	1326	69 ± 16	M1**
42	535,1 ^a	121	0,7 ± 0,2	121,7	58	E1 или E2
43	539,0	294 ± 25	—	—	—	—

Таблица I (продолжение)

1	2	3	4	5	6	7
44	563,0 ^a	~ 81	1,0	82	~ 123	M1
45	572,4 ^a	~ 61	0,3±0,1	~ 61	~ 49	E2
46	578,2 ^a	~ 81	0,1±0,2	~ 82	~ 123	M1
47	587,5	5734±132	65±7	5817	113±16	E2+M1
48	604,5	1207±74	5±1	1213	41±10	E1
49	616,4	4000±112	22,6±2,3	4030	57±8	E1+M2
50	657,0	231±14	—	—	—	—
51	661,0	189±12	—	—	—	—
52	671,2 ^a	—	0,28±0,08	—	—	—
53	692,0	704±67	6,5±1,3	711	92±22	M1
54	703,6	1489±71	21,6±2,2	1514	145±22	M1
55	730,9	3226±39	21±2,1	3250	65±9	E2, E2+M1
56	762,2	134±13	0,15±0,05	134	11±4	E1
57	766,3	178	—	—	—	—
58	770,1 ^a	—	0,3±0,09	—	—	—
59	773,2 ^a	59±3	—	—	—	—
60	785,4 ^a	—	0,52 ±0,16	—	—	—
61	805,3	319±26	3,5±0,35	323	110±18	M1
62	865,2	49±5	—	—	—	—
63	881,0 ^a	48±10	—	—	—	—
64	885,0 ^a	59±12	0,11±0,03	59,1	19±7	E2
65	895,8 ^a	36	—	—	—	—
66	901,9 ^a	—	0,45±0,07	—	—	—
67	905,7	439±35	1,16±0,17	440	26±5	E2
68	912,0 ^a	85	0,24±0,07	85,2	28	E2
69	918,0 ^a	24	0,1±0,03	24,1	42	E2+M1
70	938,8 ^a	50±5	0,26±0,08	50,3	52±17	M1
71	946,3 ^a	48±7	0,16±0,05	48,2	33±12	E2+M1
72	956,0	30	0,07±0,02	30,1	23	E2
73	979,5	173±26	0,6±0,2	173,6	35±11	E2, M1
74	985,0 ^a	46	0,3±0,1	46,3	65	M1
75	1003,2 ^a	30±15	—	—	—	—
76	1010,0 ^a	81±12	0,15	81	19	—
77	1024,0 ^a	57±17	—	—	—	—
78	1029,3 ^a	41±12	—	—	—	—
79	1050,0	64±9	0,10±0,03	64,1	16±6	E2
80	1053,0 ^a	22±11	—	—	—	—
81	1061,0 ^a	73±7,3	0,27±0,08	73,3	37±12	M1
82	1069,0 ^a	—	0,16±0,05	—	—	—
83	1079,0 ^a	35,6±11	—	—	—	—
84	1084,0	58±17	—	—	—	—
85	1088,2	33±17	—	—	—	—
86	1091,8 ^a	30±12	—	—	—	—
87	1098,0	42±11	—	—	—	—
88	1110,0	278±25	—	—	—	—
89	1119,1 ^a	34	—	—	—	—
90	1126,0	23,6±11	0,16±0,05	23,8	68±35	—
91	1130,0 ^a	33±10	—	—	—	—

Таблица I (продолжение)

1	2	3	4	5	6	7
92	1133,8 ^a	24±10	—	—	—	—
93	1157,0	92±14	—	—	—	—
94	1163,0 ^a	39±12	—	—	—	—
95	1170,3	224±9	0,95±0,19	225	42±10	M1
96	1181,8 ^a	87±9	—	—	—	—
97	1190,8	63±13	0,2±0,04	63,2	32±10	M1
98	1194,0 ^a	53±11	—	—	—	—
99	1222,0	189±32	—	—	—	—
100	1232,0 ^a	37±5	—	—	—	—
101	1236,5 ^a	13,3±2,7	—	—	—	—
102	1250,0	17,8±7,1	—	—	—	—
103	1259,5	35,6±10,7	—	—	—	—
104	1264,0 ^a	21±6	—	—	—	—
105	1279,0	60±9	0,05±0,01	60,1	8,3±2,2	E1
106	1298,7	13	—	—	—	—
107	1311,8	208±16	0,5±0,1	208,5	24±6	M1
108	1344,2	25	—	—	—	—
109	1348,9	120±76	—	—	—	—
110	1360,0	52±13	—	—	—	—
111	1363,6 ^a	77	0,13±0,03	77,2	17	M1
112	1367,0 ^a	28±9	—	—	—	—
113	1382,2	160±45	0,21±0,04	160,2	13±5	E2
114	1395,0 ^a	33±7	—	—	—	—
115	1408,0 ^a	16	0,043	16	27	M1
116	1446,0 ^a	37	—	—	—	—
117	1482,5	222±29	0,4±0,1	222,4	18±5	M1
118	1494,0	106±22	—	—	—	—
119	1579,0 ^a	18	—	—	—	—
120	1593,0 ^a	172	—	—	—	—
121	1600,0	86±3	—	—	—	—
122	1606,0 ^a	14,4±2,6	—	—	—	—
123	1632,5	27±4	—	—	—	—
124	1638,0	31±4	—	—	—	—
125	1644,0	12	—	—	—	—
126	1670,0	224±8	0,33±0,07	224,3	15±3,4	M1
127	1689,0	33±4	—	—	—	—
128	1719,5 ^a	31±9	—	—	—	—
129	1727,5 ^a	12,2±3,7	—	—	—	—
130	1746,0	14,4±3,0	—	—	—	—
131	1778,5	42,2±3,4	—	—	—	—
132	1815,2 ^a	53±5	—	—	—	—
133	1870,0	32±2	—	—	—	—
134	1962,5	11	—	—	—	—

^a Переходы не размещены в схеме распада.

* Значения энергий переходов определены в работе [7].

** Мультипольность перехода 512 кэВ может быть типа M1, так как интенсивность гамма-лучей этой энергии завышена за счет аннигиляции позитронов (0,8% на распад) при распаде 151-Tb.

ТАБЛИЦА II

Наблюдаемые относительные интенсивности e - e -совпадений при распаде ^{151}Tb

Переход в I канале (β -сп. 1)	Переходы, наблюдаемые во II канале (β -сп. 2)	Совпад. в относит. единицах	Переход в I канале (β -сп. 1)	Переходы, наблюдаемые во II канале (β -сп. 2)	Совпад. в относит. единицах
K 108,1	K 140,6	111	K 192,0	K 384,0	69
	K 161,0	95		K 395,2	240
L 108,1	K 180,1	1490		K 426,3	78
	K 192,0	672		K 604,5	6,6
	K 263,8	61	K 251,9	M 192,0 + K 240,0	74
	K 275 или L 235,9	45		K 287,2	303
	K 287,2	1450		K 384,0	13
	K 395,2	107		K 395,2	38
	K 401,2	7,5		K 426,3	23
	K 616,4	22,6		K 479,1	121
K 192,0	L 108,1 + K 149,5	>242	K 287,2	M 192,0 + K 240,0	77
	M 108,1	>76		K 251,9	520
	K 161,0	>3		K 263,8	48
	L 149,5	21		K 416,1	40
	K 251,9	1459		K 436,8	53
	K 287,2	970		K 443,8	176

Примечание: Относительные интенсивности совпадений для интенсивных переходов определены с точностью не хуже 20%. Возможно, что интенсивности совпадений с электронами K 140,6, 240,0, K 263,8 и K 384,0 кэВ завышены за счет присутствия других изотопов тербия и дочерних изотопов гадолиния.

вался с помощью безфонового бета-спектрометра [17] с двухкратной фокусировкой электронов на угол $\pi/2$. Разрешение бета-спектрометра при измерении спектров конверсионных электронов составляло $R \approx 0,2\%$ при светосиле $T \approx 0,1\%$.

Результаты исследования спектров конверсионных электронов сведены в таблице № I. В таблице № II представлены результаты анализа спектров e - e -совпадений при распаде ^{151}Tb . Исследовались совпадения конверсионных электронов K-108,1, L-108,1, K-180,1, K-192,0, K-251,8 и K-287,2 кэВ с конверсионными электронами при распаде ^{151}Tb .

Активность используемого в качестве источника препарата тербия и большая светосила тороидального бета-спектрометра позволили измерять спектры совпадений конверсионных электронов сравнительно быстро при шаге $4\beta\varrho = 4,4$ эрстед. см на второй половине бета-спектрометра. Экспозиция при каждом шаге для разных участков спектра составляла от 50 до 500 сек.

3. Исследование спектров гамма-лучей и гамма-гамма-совпадений

Спектр гамма-излучения ^{151}Tb исследовался с использованием моноизотопных источников с помощью полупроводниковых Ge(Li)-детекторов с чувствительными объемами ~ 30 см 3 , ~ 10 см 3 и 6,3 см 3 и разрешением 4,5; 4,0 и 3,5 кэВ на гамма-лучах ^{60}Co , соответственно.

Для исследования гамма-излучения ^{151}Tb было проведено два опыта, в которых применялось разделение радиоактивных изотопов тербия с помощью масс-сепаратора. Во втором опыте ^{151}Tb был получен более чистым от примесей соседних изотопов тербия, чем в первом опыте. На рисунке 1 A и 1 B приведены спектры гамма-лучей в области малых энергий, измеренные в первом опыте с помощью Ge(Li)-

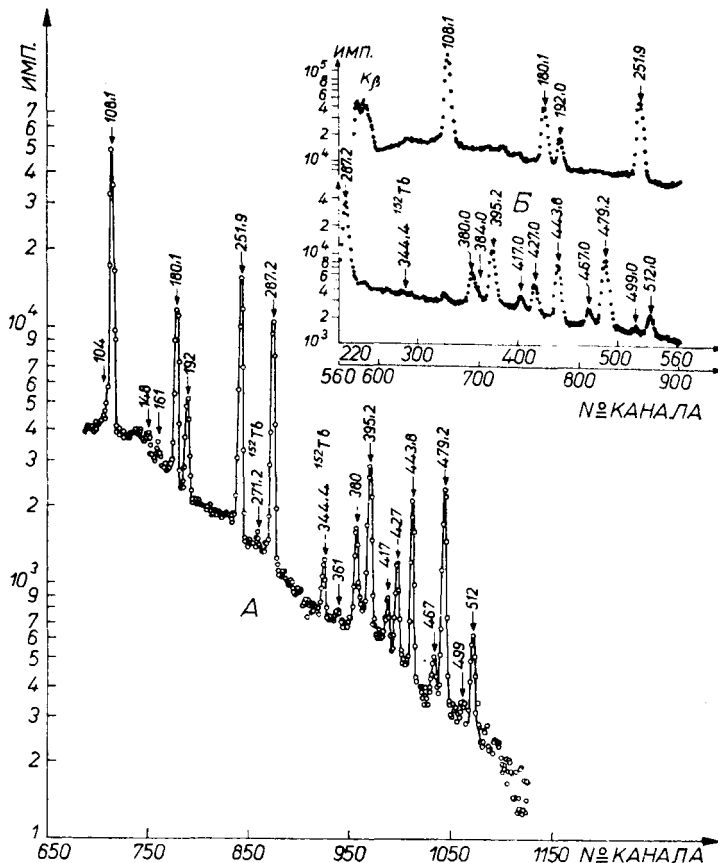


Рис. 1. Участки спектров гамма-лучей ^{151}Tb в области малых энергий: A) измеренные в первом опыте с помощью Ge (Li)-детектора с чувствительным объемом $6,3 \text{ см}^3$. B) измеренные во втором опыте с помощью Ge(Li)-детектора с чувствительным объемом $\sim 10 \text{ см}^3$

-детектора с чувствительным объемом $6,3 \text{ см}^3$ и во втором — с помощью Ge(Li)-детектора с чувствительным объемом $\sim 10 \text{ см}^3$, соответственно. Видно, что в случае второго опыта (рис. 1 B) в измеренном спектре практически не проявляются даже самые интенсивные гамма-лучи с энергией 344,4 кэВ, возникающие при распаде ^{151}Tb .

На рис. 2 представлен участок спектра гамма-лучей, возникающих при распаде ^{151}Tb , в области больших энергий, полученный при измерении препарата ^{151}Tb после второго разделения тербия на масс-сепараторе. Спектр измерен с помощью

Ge(Li)-детектора с чувствительным объемом $\sim 10 \text{ см}^3$. В случае измерения спектров с помощью Ge(Li)-детектора с чувствительным объемом $\sim 10 \text{ см}^3$ телесный угол (геометрия) составлял $\sim 9\%$ от 4π . Естественно, что в этом случае в спектрах гамма-лучей наблюдаются фотопики — „пики сумм“, обусловленные эффектом регистра-

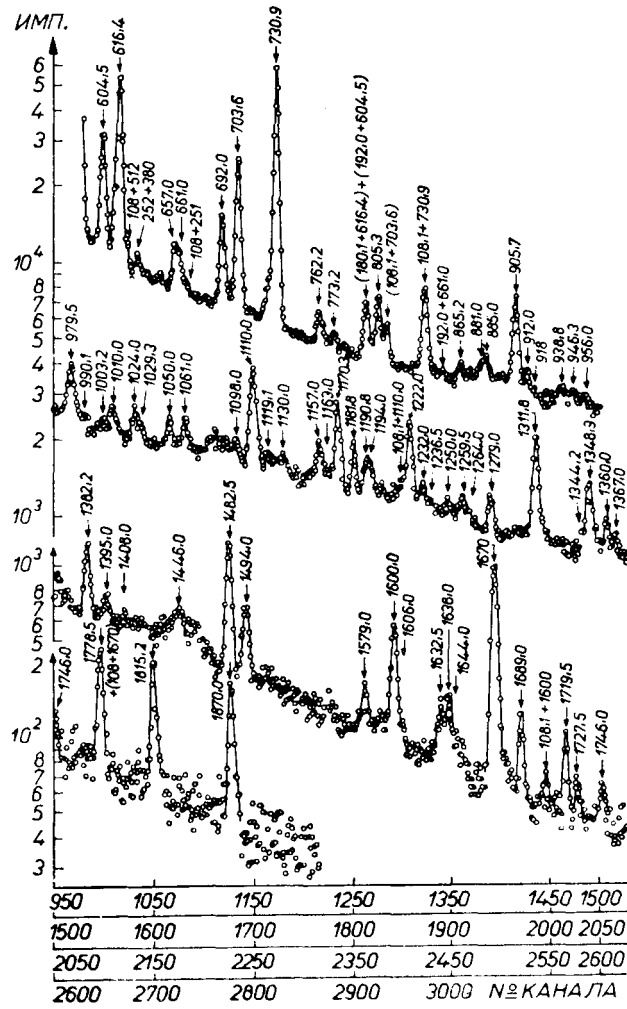


Рис. 2. Участок спектра гамма-лучей ^{151}Tb в области больших энергий, измеренный во втором опыте с помощью Ge(Li)-детектора с чувствительным объемом $\sim 13 \text{ см}^3$

ции каскадных гамма-лучей, сопровождающих распад ^{151}Tb . Чтобы исключить „пики-суммы“ при анализе спектра гамма-лучей, возникающих при распаде ^{151}Tb , было проведено измерение спектра с использованием поглотителя-фильтра (3 мм Pb, 0,5 мм Cd и 0,5 мм Cu). Поглотитель-фильтр практически полностью исключал возможность суммирования каскадных гамма-лучей с интенсивными гамма-лучами

малых энергий. На рис. 3 представлен спектр гамма-излучения ^{151}Tb измеренный с помощью Ge(Li)-детектора с чувствительным объемом $6,3 \text{ см}^3$ с использованием поглотителя.

Сравнение спектров, измеренных с использованием поглотителя и без поглотителя, с одной стороны, позволило нам исключить фотопики — „пики-суммы“;

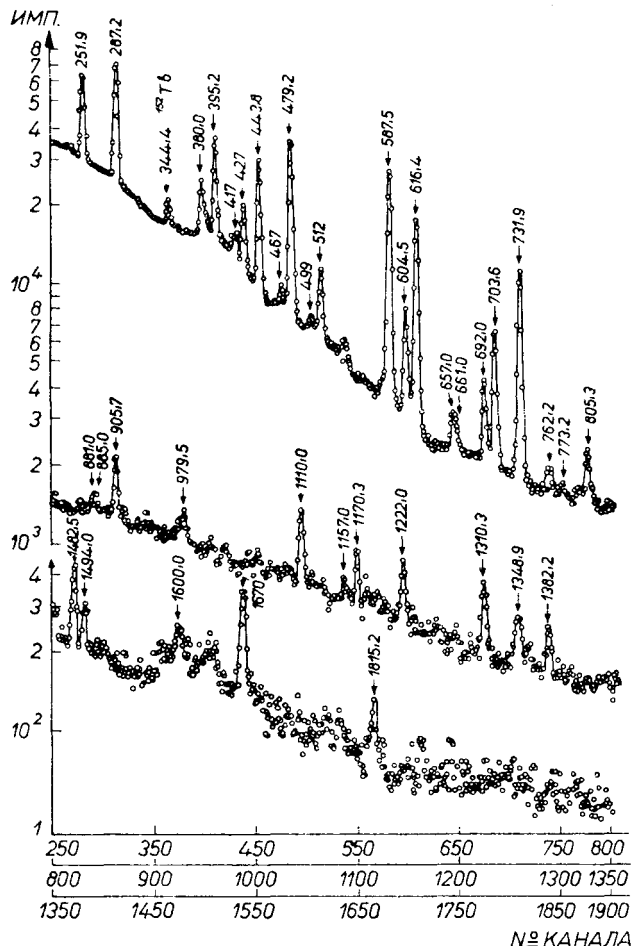


Рис. 3. Участок спектра гамма-излучения ^{151}Tb измеренный в первом опыте с помощью Ge(Li) — детектора с чувствительным объемом $6,3 \text{ см}^3$ и с использованием поглотителя

с другой стороны, наблюдение этих фотопиков значительно помогло при анализе схемы возбужденных уровней ^{151}Gd . В таблице I сведены данные анализа спектров гамма-лучей при распаде ^{151}Tb . Указанные в таблице ошибки определения относительных интенсивностей гамма-лучей не включают в себя погрешности, обусловленные неточностью определении эффективности регистрации гамма-лучей, равной 10 %. Ошибка в определении энергии гамма-лучей ^{151}Tb составляет не более 0,5 кэВ.

При определении энергий гамма-переходов в качестве градуировочных энергий использовались энергии гамма-лучей ^{151}Tb [4, 7] (в области энергий до 500 кэВ) и гамма-лучей ^{56}Co [18]. Эффективность регистрации гамма-излучения детекторами определялась с помощью калибровочных источников ^{56}Co [18], ^{26}Na [19], ^{169}Yb [20], ^{241}Am [21], ^{226}Ra [22, 23].

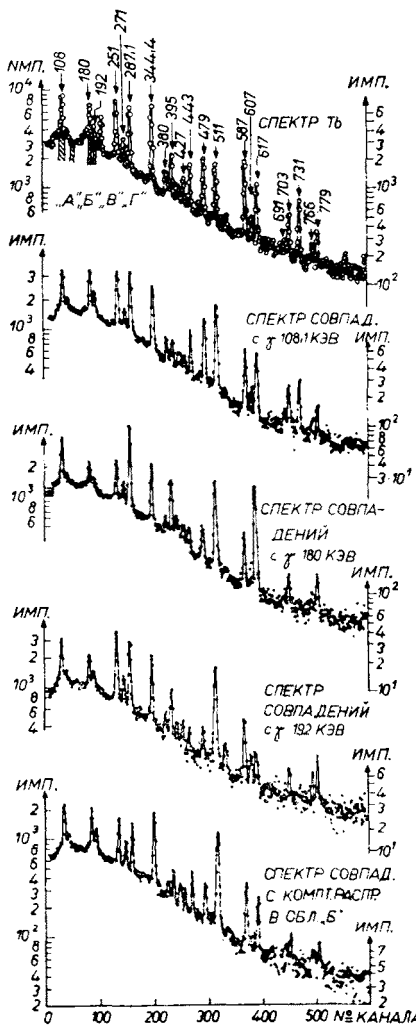


Рис. 4. Спектры гамма-гамма-совпадений с $\gamma 108$, $\gamma 180$ и $\gamma 192$ кэВ

Спектры гамма-гамма-совпадений при распаде ^{151}Tb исследовались с помощью двух Ge(Li)-детекторов с чувствительным объемом $\sim 30 \text{ см}^3$ в связи с вычислительной машиной „Минск-2“ [13]. Измерения спектров совпадений начинались через ~ 20 часов после конца облучения тантала на синхроциклотроне. Тербий перед измерением повторно очищался от дочерних изотопов гадолиния, накапливавшихся при распаде изотопов тербия, присутствовавших в источнике.

Часть спектров гамма-гамма-совпадений представлена на рисунках 4 и 5. В верхней части рисунков приведены спектры тербия, в нижней — спектры совпадений гамма-лучей с энергией 108,1; 180,1; 192,0; 251,9; 287,2 кэВ и участков комптоновского распределения спектра с гамма-лучами при распаде ^{151}Tb . Как видно из рис. 4 и 5, в спектре тербия наблюдаются несколько фотопиков, принадлежащих распаду

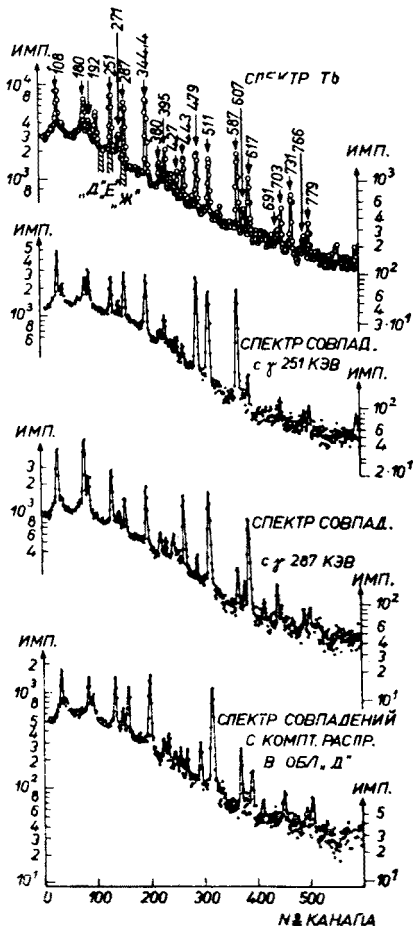


Рис. 5. Спектры гамма-гамма-совпадений с $\gamma 251$ и $\gamma 287$ кэВ

^{152}Tb и ^{154}Tb , присутствовавших в источнике. При анализе спектров совпадений гамма-лучей в каждом случае учитывался вклад от совпадений с комптоновским распределением спектра. Анализ спектров гамма-гамма-совпадений проводился методом подобным описанному в работе [24]. На рисунках 4 и 5 отмечены области (А, Б, В, Г, Д, Е, Ж) спектра гамма-лучей, с которыми измерялись совпадения гамма-лучей при распаде ^{151}Tb . Анализ спектров совпадений, в основном, подтвердил результаты исследований $e-\gamma$ -совпадений, полученные в работе [5] и находится

ТАБЛИЦА III

Результаты анализа спектров гамма-гамма-со-всплески

$E_{\text{кэВ}}$	$E_{\text{кэВ}}$	108,1	180,1	192,0	251,9	287,2	479,1	511	692,0
108,1	—	840 \pm 280 (1440 \pm 370)	720 \pm 220 (540 \pm 140)	2730 \pm 490 (2350 \pm 940)	4600 \pm 740 (4360 \pm 870)	2030 \pm 410 (2240 \pm 450)	710 \pm 340 —	~380 (200 \pm 60)	—
180,1	1300 \pm 280 (1440 \pm 370)	—	—	—	4750 \pm 740 (3300 \pm 660)	—	850 \pm 290 (400 \pm 160)	—	—
192,0	~320 (540 \pm 140)	—	—	1570 \pm 290 (1550 \pm 340)	1340 \pm 250 (1250 \pm 250)	—	<400 (60 \pm 25)	—	—
251,9	2660 \pm 480 (2350 \pm 940)	—	1200 \pm 240 (1550 \pm 340)	—	1610 \pm 340 (1260 \pm 380)	6010 \pm 960 (4520 \pm 1040)	360 \pm 260 (400 \pm 160)	—	—
287,2	4360 \pm 710 (4360 \pm 870)	4290 \pm 700 (3300 \pm 660)	1390 \pm 260 (1250 \pm 250)	2000 \pm 360 (1260 \pm 380)	—	—	500 \pm 260 (500 \pm 300)	730 \pm 270 (450 \pm 90)	—
348	—	—	—	—	~300	—	—	—	—
395,2	—	1620 \pm 300 (1440 \pm 290)	405 \pm 130 (550 \pm 110)	1140 \pm 280 (550 \pm 170)	—	—	—	—	—
416,1	—	—	—	—	570 \pm 290 (530 \pm 110)	—	—	—	—
443,8	820 \pm 340 (1070 \pm 280)	—	—	—	4300 \pm 730 (2450 \pm 500)	—	—	—	—
479,1	(2660 \pm 480) (2240 \pm 450)	—	—	6810 \pm 1090 (4320 \pm 1040)	—	—	—	—	—

Таблица III (продолжение)

1	2	3	4	5	6	7	8	9
587,5	—	—	—	7010 ± 1120 (4550 ± 1050)	—	—	—	—
604,5	—	—	—	—	—	~ 390 (490 ± 120)	—	—
616,4	750 ± 320 (1150 ± 460)	2850 ± 500 (2780 ± 620)	—	—	3620 ± 650 (2390 ± 710)	—	—	—
692,0	~ 430 (200 ± 60)	—	—	—	~ 380 (450 ± 90)	—	—	—
730,9	870 ± 320 (1270 ± 260)	—	—	—	—	—	—	—

Примечание: Интенсивности гамма-гамма-совпадений определялись как в работе [24], т.е. $J_{\gamma_1-\gamma_2} = \frac{N_{\gamma_1-\gamma_2}}{\sigma_1 \cdot \sigma_2}$, где $N_{\gamma_1-\gamma_2}$ представляет число зарегистрированных совпадений между гамма-лучами с энергиями E_1 и E_2 , а σ_1 и σ_2 — эффективности регистрации гамма-лучей с энергиями E_1 и E_2 в соответствующих детекторах. В скобках приведены рассчитанные интенсивности гамма-гамма-совпадений для принятой схемы распада (рис. 6). При этом интенсивности гамма-гамма-совпадений нормированы таким образом, чтобы выполнялось соотношение

$$J_{\gamma 108,1-\gamma 287,2} = \frac{J_{\gamma 108,1} \cdot J_{\gamma 287,2}}{J_{\text{полн. } 108,1}}$$

Интенсивности совпадений гамма-лучей с энергией $511 \div 512$ кэВ рассчитаны в предположении, что при позитронном распаде ^{151}Tb заселяется лишь уровень с энергией 839,3 кэВ ^{151}Gd .

в хорошем согласии с результатами анализа спектров e - e -совпадений, проведенных в данной работе.

В таблице III сведены результаты анализа спектров совпадений гамма-лучей с энергиями 108,1; 180,1; 192,0; 251,9; 287,2; 479,1; 511 и 692,0 кэв с гамма-лучами при распаде ^{151}Tb .

Анализ спектров гамма-лучей и конверсионных электронов позволил рассчитать экспериментальные значения коэффициентов внутренней конверсии (КВК) и сделать выводы о мультипольности ряда переходов в ядре ^{151}Gd . При определении экспериментальных значений КВК принималось, что переход с энергией 251,9 кэв, согласно работам [4, 7], является переходом типа M1 ($\alpha_K = 0,130$). Экспериментальные значения КВК и выводы о мультипольности переходов приведены в таблице I.

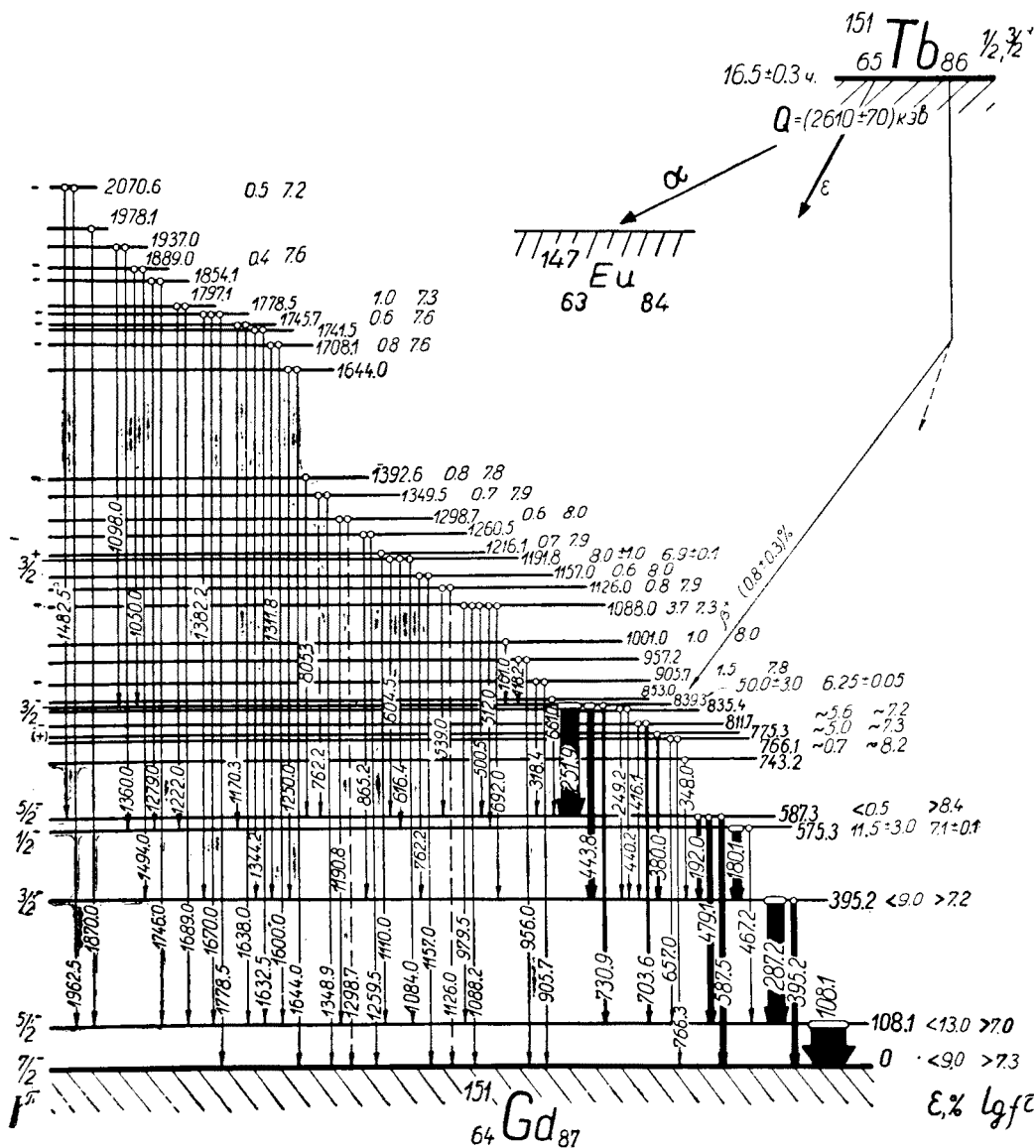
При расчете значений КВК учитывались также погрешности определения относительных интенсивностей гамма-лучей из-за неопределенности кривой эффективности регистрации гамма-излучения детекторами.

3. Схема распада $^{151}\text{Tb} \rightarrow ^{151}\text{Gd}$

Анализ экспериментальных данных позволил ввести ряд новых возбужденных состояний ^{151}Gd , возникающих при распаде ^{151}Tb . Схема распада $^{151}\text{Tb} \rightarrow ^{151}\text{Gd}$ приведена на рис. 6. Уровни ^{151}Gd вводились преимущественно на основании анализа спектров e - e -совпадений, гамма-гамма-совпадений и наблюдения „пиков-сумм“ в спектре гамма-лучей ^{151}Tb (рис. 2). Наблюдаемые совпадения ($\gamma 512$) ($\gamma 287$) и ($\gamma 512$) ($\gamma 180$) указывают на размещение перехода с энергией 512 кэв между уровнями с энергией 1087,3 и 575,3 кэв. Совпадения ($\gamma 511$) ($\gamma 251$) в спектре совпадений гамма-лучей 511 кэв с гамма-лучами тербия интерпретируются нами как совпадения гамма-лучей с энергией 251,9 кэв, разряжающих уровень с энергией 839,3 кэв с гамма-квантами, возникающими при аннигиляции позитронов ^{151}Tb . Интенсивность позитронов, ведущих к заселению с энергией 839,3 кэв, ($3/2^-$) ^{151}Gd составляет ($0,8 \pm 0,3$)% на распад ^{151}Tb .

По отношению $K/\beta^+ = 59,6_{-14,9}^{+30,0}$ для уровня с энергией 839,3 кэв в предположении разрешенного бета-перехода определена граничная энергия позитронов $E_{\text{тр}} = (750 \pm 70)$ кэв. Отсюда разность масс $^{151}\text{Tb} - ^{151}\text{Gd}$ равна (2610 ± 70) кэв.

Анализ спектров гамма-лучей дочерних изотопов ^{151}Gd и ^{147}Eu , накапливавшихся при распаде ^{151}Tb , позволил определить интенсивности гамма-лучей, возникающих при распаде ^{151}Tb , в процентах на распад и отношение α/e при распаде ^{151}Tb . В расчетах принималось, что интенсивность гамма-лучей с энергией 153,7 кэв составляет 9,3% на распад ^{151}Gd [25], а интенсивность гамма-лучей с энергией 121,3 кэв составляет 16% на распад ^{147}Eu [26]. В результате получено, что интенсивность гамма-лучей с энергией 287,2 кэв составляет 21% на распад ^{151}Tb . Непосредственно из схемы распада $^{151}\text{Tb} \rightarrow ^{151}\text{Gd}$ (рис. 6) по результатам данной работы получаем $I_{\gamma 287,2} = 28\%$ на распад. В пределах возможных ошибок определения $I_{\gamma 287,2}$ по накоплению дочернего ^{151}Gd и по результатам настоящей работы полученные зна-

Рис. 6. Схема распада $^{151}\text{Tb} \rightarrow ^{151}\text{Gd}$

чения величины $I_{\gamma 287,2}$ (21 % и 28 %) согласуются между собой. В расчетах по определению отношения α/ϵ использовалось среднее значение $I_{\gamma 287,2} = 24.5\%$. Отношение α/ϵ оказалось равным $(10 \pm 5) \cdot 10^{-5}$. Эта величина находится в согласии с значениями $(8 \pm 2) \cdot 10^{-5}$ и $3.3 \cdot 10^{-5}$, полуценными в работах [27, 28] и не согласуется с величинами $(5.0 \pm 1.5) \cdot 10^{-6}$, $\sim 3 \cdot 10^{-6}$ и $(4.8 \pm 0.5) \cdot 10^{-6}$ работ [7, 29, 30].

На схеме распада $^{151}\text{Tb} - ^{151}\text{Gd}$ (рис. 6) приведены значения $\lg ft$ и доли бета-распада на возбужденные уровни и основное состояние ^{151}Gd . При расчете значе-

ний $\lg f\tau$ использовалась экспериментально определенная разность масс $^{151}\text{Tb} - ^{151}\text{Gd}$, равная (2610 ± 70) кэв.

На основании наших результатов не представляется возможным сделать однозначные выводы о спинах возбужденных состояний ^{151}Gd . Такие выводы не следуют пока и из предварительных измерений угловых корреляций гамма-переходов в ядре ^{151}Gd [31]. Однако, измеренное значение спина основного состояния ^{151}Tb $I = 1/2$ [32], как и приписание основному состоянию ^{151}Tb по модели оболочек квантовых характеристик $I^\pi = 3/2^+$ ($d3/2$) не противоречит предположенным спинам возбужденных состояний ^{151}Gd .

Ядро ^{151}Gd находится на границе области деформированных ядер, где можно ожидать проявления свойств, присущих как сферическим, так и деформированным ядрам. На современном этапе трудно дать определенную интерпретацию природы уровней этого ядра. Рассмотрим более подробно свойства его нижних состояний и уровня с энергией 839,3 кэв.

Основному состоянию ^{151}Gd следует приписать квантовые характеристики $7/2^-$ ($f7/2$). Это следует из модели оболочек Майер и из сравнения с соседними ядрами $^{143}_{60}\text{Nd}_{83}$, $^{145}_{62}\text{Sm}_{83}$, $^{145}_{60}\text{Nd}_{85}$, $^{147}_{62}\text{Sm}_{85}$ и $^{149}_{62}\text{Sm}_{87}$ [33]. В работе [5] указывается, что три нижних состояния ^{151}Gd (0 кэв, $I^\pi = 7/2^-$; 108,1 кэв, $I^\pi = 5/2^-$ и 395,2 кэв, $I^\pi = 3/2^-$), напоминают конфигурационный мультиплет $f7/2^{-3}$. Однако, возможна и другая интерпретация этих уровней ^{151}Gd . Сравнение парциального периода полураспада первого возбужденного состояния ^{151}Gd для E2-перехода [8, 9] с теоретическими расчетами по Мошковскому указывает на значительное ускорение E2-перехода с первого возбужденного состояния (108,1 кэв, $I^\pi = 5/2^-$) на основное. Ускорение получено равным ~ 50 [9] без учета и ~ 300 [8] с учетом статистического множителя S . Наблюдение ускорения для E2-перехода с энергией 108,1 кэв, как отмечается в работе [8], позволяет интерпретировать возбужденные состояния с энергией 395,2 кэв ($3/2^-$), 108,1 кэв ($5/2^-$) и основное состояние ($7/2^-$) ^{151}Gd на основе модели для нечетных ядер, предложенной Де Шалитом [34]. Часть состояний в нечетных сферических ядрах можно описывать согласно этой модели, предполагая существование слабой связи между нечетной частицей и колебаниями остова ядра.

Завышенное значение КВК для перехода с энергией 443,8 кэв, разряжающего уровень с энергией 839,3 кэв ($3/2^-$) позволяет предположить также, как и в работе [5], мультипольность этого перехода типа E2+E0. Как отмечалось в [5], возможно, что уровень с энергией 839,3 кэв является бета-вибрационным состоянием. С другой стороны согласно работе [8], переход с энергией 443,8 кэв по сравнению с оценкой по Мошковскому для перехода типа E2 оказался несколько замедленным (фактор запрета $F = 2,5$), что находится в противоречии с предположением о бета-вибрационной природе уровня с энергией 839,3 кэв. По-видимому, это противоречие снимется, если предположить, что ядро ^{151}Gd имеет небольшую деформацию, тогда следует проводить сравнение парциальных периодов полураспада для перехода с энергией 443,8 кэв экспериментального и рассчитанного по формуле Нильссона. Известно [35], что в деформированных ядрах переходы типа E2, которые, как правило, характеризуются небольшими ускорениями относительно оценки Мош-

ковского, а иногда и заторможены, часто оказываются сильно ускоренными относительно оценок по Нильссону; это ускорение может достигать трех и даже четырех порядков. Очевидно, что решение вопроса о природе уровня с энергией 839,2 кэВ требует дальнейших исследований.

В заключение авторы приносят искреннюю благодарность доктору физико-математических наук К. Я. Громову за полезные дискуссии при выполнении работы, Г. И. Лизурею, К. Зубер, Х. Штруслому за помощь в проведении ряда измерений, В. Михайловой и Я. Квашинику за подготовление препаратов на отдельных этапах работы, Е. Лебедевой за оформление рисунков.

ЛИТЕРАТУРА

- [1] J. W. Mihelich, B. Hartmatz, T. H. Handley, *Phys. Rev.*, **108**, 989 (1957).
- [2] Н. М. Антоньева, А. А. Башилов, Б. С. Джелепов, Б. К. Преображенский, *ДАН СССР*, **119**, 241 (1958).
- [3] А. Т. Стригачев, Л. С. Новиков, А. А. Сорокин, В. А. Халкин, И. В. Цветкова, В. С. Шпинель, *Изв. АН СССР (сер. физ.)*, **25**, 813 (1961).
- [4] B. Hartmatz, T. H. Handley, J. W. Mihelich, *Phys. Rev.*, **128**, 1186 (1962).
- [5] К. Вильский, В. В. Кузнецов, О. Б. Нильсен, О. Скилбрайт, В. А. Халкин, *ЯФ*, **6**, 672 (1967).
- [6] Б. С. Джелепов, И. А. Тишкун, И. А. Шишлов, *Программа и тезисы докладов XVII ежегодного совещания по ядерной спектроскопии и структуре атомного ядра*, стр. 59, Изд. Наука, Ленинград 1967.
- [7] J. Kormicki, H. Niewodniczański, Z. Stachura, K. Zubert, A. Budziak, *Nuclear Phys.*, **A100**, 297 (1967).
- [8] В. А. Морозов, Т. М. Муминов, В. И. Разов, *Препринт ОИЯИ*, 6—4406, 1969.
- [9] А. Баланда, М. Гонспор, В. В. Кузнецов, Г. И. Лизурей, В. Менчински, М. Михайлов, *Acta Phys. Polon.*, **36**, 1099 (1969).
- [10] К. Я. Громов, Г. И. Исхаков, В. В. Кузнецов, М. Я. Кузнецова, Э. З. Рындина, В. И. Фоминых, М. Михайлов, *Препринт ОИЯИ*, 6—4756, 82, 1969.
- [11] М. Гонспор, К. Я. Громов, В. В. Кузнецов, М. Я. Кузнецова, М. Михайлов, А. В. Потемпа, *Препринт ОИЯИ*, 6—4756, 78, 1969.
- [12] P. O. Tjøm, B. Elbek, *Mat. Fys. Medd. Dan. Vid. Selsk.*, **36**, 8 (1967).
- [13] В. С. Александров, Ф. Дуда, О. И. Елизаров, Г. П. Жуков, Г. И. Забиякин, З. Зайдлер, И. Зволльски, Е. Т. Кондрат, З. В. Лысенко, В. И. Приходько, В. Г. Тишин, В. И. Фоминых, М. И. Фоминых, В. М. Цупко-Ситников, *Изв. АН СССР (сер. физ.)*, **34**, 69 (1970).
- [14] M. Gąsior, *Postępy Techniki Jądrowej*, **9-10**, 859 (1964) (in Polish).
- [15] Б. К. Преображенский, О. М. Лилова, А. Н. Доброиврова, Е. Д. Тетерин, *ЖАХ*, **1**, 2294 (1956).
- [16] В. П. Афанасьев, А. Т. Василенко, И. И. Громова, Ж. Т. Желев, В. В. Кузнецов, М. Я. Кузнецова, Л. Мончка, Ю. Поморски, В. И. Райко, А. В. Ревенко, В. М. Сороко, В. А. Уткин, *Препринт ОИЯИ*, 13—4763, 1969.
- [17] J. Adam, V. G. Chumin, Yu. N. Denisov, M. Finger, K. Ya. Gromov, M. Ya. Kuznetsova, Lu Si-ting, *Preprint JINR*, G-2494, 1965.
- [18] P. H. Barker, R. D. Connor, *Nuclear Instrum. Methods*, **57**, 147 (1967).
- [19] Б. С. Джелепов, Л. К. Пекер, *Схемы распада радиоактивных ядер, A<100*, **149**, изд. Наука М-Л, 1966.
- [20] P. Alexander, F. Boehm, *Nuclear Phys.*, **46**, 108 (1963).

- [21] L. B. Magnusson, *Phys. Rev.*, **107**, 161 (1957).
- [22] К. Я. Громов, Б. М. Сабиров, Я. Я. Урбанец, *Изв. АН СССР (сер. физ.)*, **33**, 1646 (1969).
- [23] E. W. A. Lingeman, J. Kopijn, P. Polak, A. H. Wapstra, *Nuclear Phys.*, **A133**, 630 (1969).
- [24] П. Галан, М. Я. Кузнецова, М. Фингер, И. Юрсик, *Препринт ОИЯИ*, Р6—3479, 1967; *Czech. J. Phys.*, **B19**, 232 (1969).
- [25] К. Я. Громов, В. В. Кузнецов, Н. Ненов, О. Б. Нильсен, О. Скилбрайт, В. И. Фоминых, Д. Христов, *Изв. АН СССР (сер. физ.)*, **31**, 1716 (1967).
- [26] I. Adam, K. S. Toth, R. A. Meyer, *Phys. Rev.* **159**, 985 (1967).
- [27] Н. А. Головков, К. Я. Громов, Н. А. Лебедев, Б. Махмудов, А. С. Руднев, В. Г. Чумин, *Изв. АН СССР (сер. физ.)*, **31**, 1618 (1967).
- [28] К. Я. Громов, И. Махунка, М. Махунка, Т. Фенеш, *Изв. АН СССР (сер. физ.)*, **29**, 194 (1965).
- [29] K. S. Toth, J. O. Rasmussen, *Nuclear Phys.*, **1**, 474 (1960).
- [30] R. D. Macfarlane, D. W. Seegmiller, *Nuclear Phys.*, **53**, 449 (1964).
- [31] Э. Божек, Е. Гольчевски, А. З. Хрынкевич, М. Рыбицка, Я. Стыченъ, С. Шимчик, Р. Кулесса, Б. Стыченъ, *Программа и тезисы докладов XX — ежегодного совещания по ядерной спектроскопии и структуре атомного ядра (ч. 1)* Изд. Наука, Ленинград, 106, 1970.
- [32] I. Lindgren, H. Nyqvist, A. Rosen, K. E. Aadelroth, C. Ekström, M. Olsmats, B. Wannberg, *Atomic-beam measurements in the rare earth region*, Göteborg, Uppsala (Sweden, 1969).
- [33] Б. С. Джелепов, Л. К. Пекер, В. О. Сергеев, *Схемы распада радиоактивных ядер, $A \geq 100$* , Изд. АН СССР, М-Л, 1963.
- [34] A de Shalit, *Phys. Rev.*, **122**, 1530 (1961).
- [35] Э. Е. Берлович, *Времена жизни уровней и структура ядра*, в сб. „Структура ядра“, стр. 15, Изд. ФАН, Ташкент 1969.